

Алексеев А.В., Дорошин А.В., Ерёменко А.В., Крикунов М.М., Недовесов М.О.

**МОДЕЛИРОВАНИЕ ДВИЖЕНИЯ СОСТАВНОГО КОСМИЧЕСКОГО  
АППАРАТА С ВНУТРЕННИМ ПОДВИЖНЫМ УСТРОЙСТВОМ**

**Механическая и математическая модели**

Рассмотрим механическую структуру составного (двутельного) космического аппарата (КА) со взаимосвязями и внутренними степенями свободы, приведённую на рис. 1.

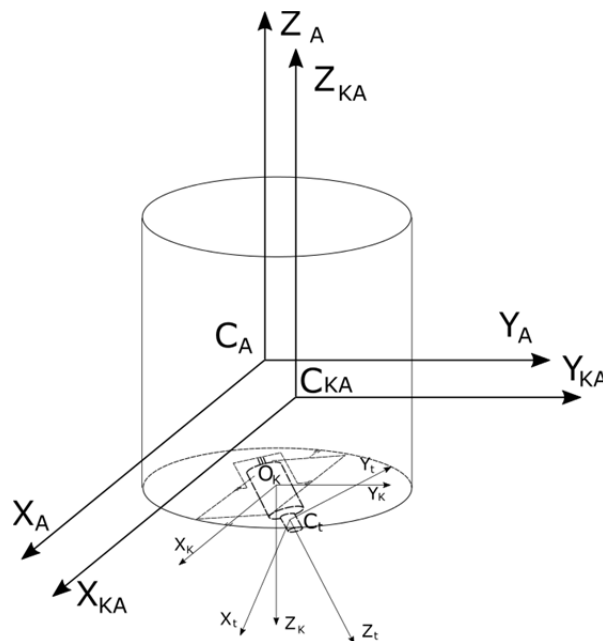


Рис. 1. Структура КА с внутренними степенями свободы: 1 – корпус космического аппарата (несущее тело), тело 2 – подвижное устройство в кардановом подвесе

Введем следующую группу систем координат:

–  $C_{KA}X_{KA}Y_{KA}Z_{KA}$  – система координат, начало которой совпадает с центром масс составного КА, а оси параллельны главным центральным осям инерции корпуса (несущего тела) космического аппарата;

–  $C_A X_A Y_A Z_A$  – система координат, начало которой совпадает с центром масс несущего тела, а оси являются главными центральными осями инерции несущего тела;

–  $O_K X_K Y_K Z_K$  – система координат, начало которой совпадает с неподвижной точкой карданова подвеса, оси которой остаются параллельными осям главными центральными осями инерции несущего тела;

–  $C_t X_t Y_t Z_t$  – система координат, начало которой совпадает с центром масс подвижного устройства, а оси являются главными центральными осями инерции подвижного оборудования.

Рассмотрим движение составного КА в системе координат  $C_{KA}X_{KA}Y_{KA}Z_{KA}$ ,

которую будем именовать основной. Определим положения центров масс частей космического аппарата в основной системе координат (рис. 1). Для центра масс составного КА в основной системе координат справедливо соотношение:

$$\mathbf{r}_c = \frac{m_1 \mathbf{r}_1 + m_2 \mathbf{r}_2}{m_1 + m_2}, \quad (1)$$

где  $\mathbf{r}_2$  и  $m_2$  – радиус-вектор центра масс и масса подвижного оборудования,  $\mathbf{r}_1$  и  $m_1$  – радиус вектор центра масс и масса несущего тела,  $\mathbf{r}_c$  – радиус вектор центра масс всего составного КА.

Запишем радиус-вектор центра масс составного КА в системе координат  $O_K X_K Y_K Z_K$ :

$$\mathbf{r}_c = \frac{m_1 \mathbf{O}_k \mathbf{C}_a + m_2 \mathbf{A}_1 (\mathbf{O}_k \mathbf{C}_t)}{m_1 + m_2}, \quad (2)$$

где  $\mathbf{A}_1$  – матрица перехода от системы координат  $C_t X_t Y_t Z_t$  к системе координат  $C_A X_A Y_A Z_A$

Запишем выражения для определения радиус вектора центра масс несущего тела в основной системе координат  $C_{KA} X_{KA} Y_{KA} Z_{KA}$ :

$$\mathbf{r}_1 = \mathbf{O}_k \mathbf{C}_a - \mathbf{r}_c. \quad (3)$$

Радиус вектор центра масс подвижного оборудования для удобства дальнейших вычислений запишем в его собственной системе координат  $C_t X_t Y_t Z_t$ :

$$\mathbf{r}_2 = \mathbf{O}_k \mathbf{C}_t - \mathbf{A}_2 \mathbf{r}_c, \quad (4)$$

где  $\mathbf{A}_2$  – матрица перехода от системы координат  $C_A X_A Y_A Z_A$  к системе координат  $C_t X_t Y_t Z_t$ ,

Запишем выражение кинетических моментов частей составного КА относительно общего центра масс:

$$\mathbf{K}_i = \mathbf{I}_i \boldsymbol{\omega}_i + \left[ \mathbf{r}_i \times m_i \left( \boldsymbol{\omega}_i \mathbf{r}_i + \frac{d\mathbf{r}_i}{dt} \right) \right], \quad (5)$$

где  $\mathbf{I}_i = \text{diag}[A_i, B_i, C_i]$  – тензор инерции,  $\boldsymbol{\omega}_i$  – вектор угловой скорости,  $i=1, 2$  – номер части составного КА.

Тогда компоненты угловых скоростей частей составного КА, при выбранной последовательности поворотов  $X \rightarrow Y \rightarrow Z$ , определяются следующими кинематическими уравнениями:

$$\begin{cases} p_i = \dot{\alpha}_i \cos(\beta_i) \cos(\gamma_i) + \dot{\beta}_i \sin(\gamma_i), \\ q_i = -\dot{\alpha}_i \cos(\beta_i) \sin(\gamma_i) + \dot{\beta}_i \cos(\gamma_i), \\ r_i = \dot{\alpha}_i \sin(\beta_i) + \dot{\gamma}_i, \end{cases} \quad (6)$$

где  $p_i, q_i, r_i$  – проекции угловой скорости  $\boldsymbol{\omega}_i$  на оси системы координат  $C_A X_A Y_A Z_A$  при  $i=1$

и на систему координат  $C_t X_t Y_t Z_t$  при  $i=2$ ;  $\alpha_i, \beta_i, \gamma_i$  – углы Крылова.

Запишем первые три уравнения движения составного КА:

$$\left( \frac{\tilde{d}\mathbf{K}_1}{dt} + \boldsymbol{\omega}_1 \times \mathbf{K}_1 \right) + \mathbf{A}_1 \left( \frac{\tilde{d}\mathbf{K}_2}{dt} + \boldsymbol{\omega}_2 \times \mathbf{K}_2 \right). \quad (7)$$

Для нахождения оставшихся трёх уравнений движения составного КА, описывающих внутренние степени свободы, найдём кинетическую энергию системы и запишем уравнение Лагранжа второго рода:

$$T = \frac{1}{2} (\mathbf{K}_1 \boldsymbol{\omega}_1 + \mathbf{K}_2 \boldsymbol{\omega}_2 + m_1 \mathbf{V}_1^2 + m_2 \mathbf{V}_2^2), \quad (8)$$

где  $T$  – полная кинетическая энергия механической системы.

Так как на механическую систему не действуют потенциальные силы уравнение Лагранжа запишется в следующем виде

$$L = \frac{d}{dt} \frac{\partial T}{\partial \dot{\varphi}_i} - \frac{\partial T}{\partial \varphi_i} = 0, \quad (9)$$

где  $\varphi_i$  – обобщённые координаты,  $\dot{\varphi}_i$  – обобщённые скорости механической системы.

Уравнения (7) и (9) образуют систему динамических уравнений движения всей составного КА.

$$\begin{cases} \left( \frac{\tilde{d}\mathbf{K}_a}{dt} + \boldsymbol{\omega}_a \times \mathbf{K}_a \right) + \mathbf{A}_2 \left( \frac{\tilde{d}\mathbf{K}_t}{dt} + \boldsymbol{\omega}_t \times \mathbf{K}_t \right) = \mathbf{M}_c^e, \\ \frac{d}{dt} \frac{\partial T}{\partial \dot{\varphi}_i} - \frac{\partial T}{\partial \varphi_i} = \mathbf{M}_c^e + \mathbf{M}_c^i. \end{cases} \quad (10)$$

### Результаты численного моделирования

Полученные уравнения (10) в полной мере позволяют осуществлять численное моделирование и последующий синтез динамики КА с подвесным устройством (ПУ). Структура уравнений (10) является линейной по отношению к производным, что позволяет записать динамические уравнения в явном разрешенном виде, готовом для интегрирования совместно с двумя группами кинематических уравнений.

Стоит отметить, что контроль полученных результатов интегрирования уравнений динамики КА осуществлялся с помощью проверок сохранения естественных интегралов движения (сохранение кинетического момента и сохранение кинетической энергии при свободном движении):

$$T = const, \quad K_c = const.$$

Принимались следующие начальные условия и параметры составного КА:  $m_1=400$  [кг],  $m_2=20$  [кг]; моменты инерции КА:  $A_1=B_1=1500$  [кг\*м<sup>2</sup>],  $C_1=750$  [кг\*м<sup>2</sup>]; моменты инерции ПУ:  $A_2=B_2=100$  [кг\*м<sup>2</sup>],  $C_2=50$  [кг\*м<sup>2</sup>]; начальные значения угловых

скоростей КА:  $p_1=q_1=r_1=0,03$  [рад/с]; начальные значения углов КА:  $\alpha_1=\beta_1=\gamma_1=0$  [рад]; начальные значения угловых скоростей ПУ:  $p_1=q_1=r_1=0$  [рад/с]; начальные значения углов ПУ:  $\alpha_1=\beta_1=\gamma_1=0$  [рад]; время интегрирования 500 [с].

Результаты моделирования приведены на рис. 2-7.

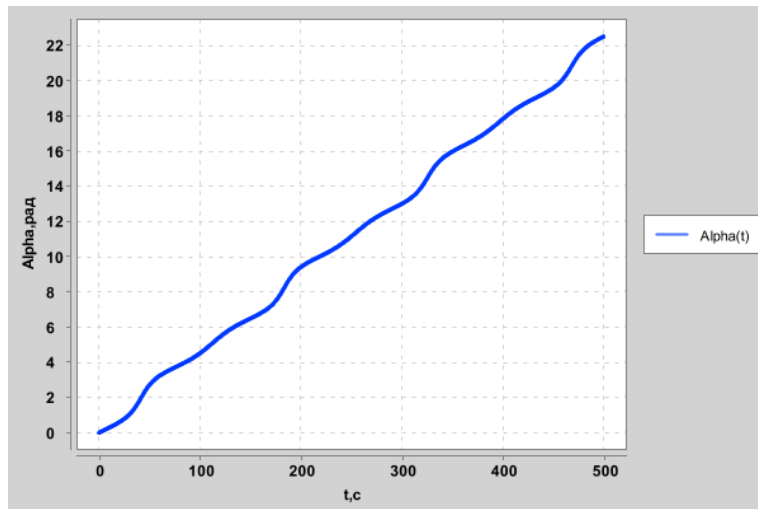


Рис. 2. Зависимость угла  $\alpha_1$  корпуса КА от времени

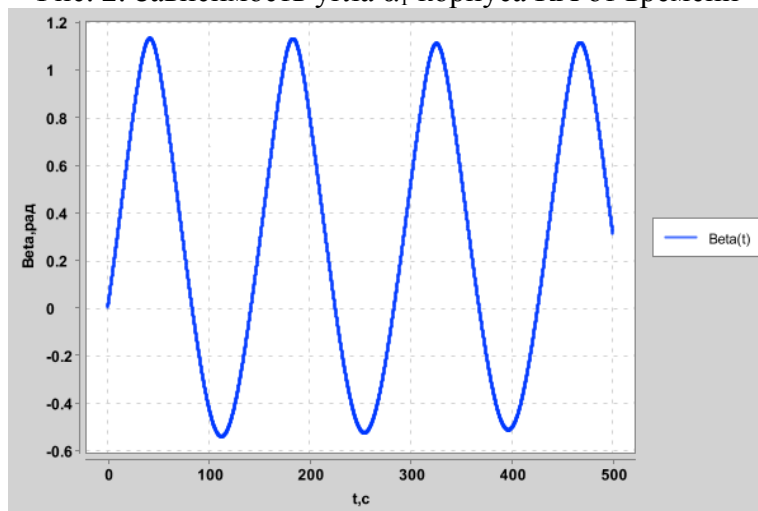


Рис. 3. Зависимость угла  $\beta_1$  корпуса КА от времени

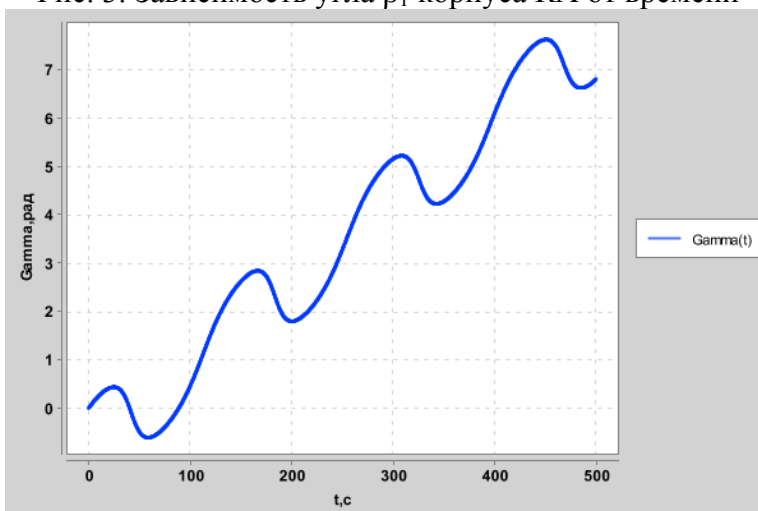


Рис. 4. Зависимость угла  $\gamma_1$  корпуса КА от времени

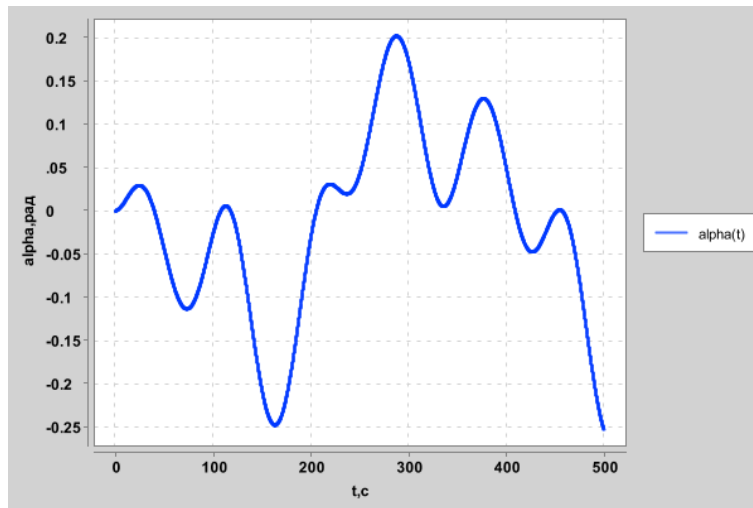


Рис. 5. Зависимость угла  $\alpha_2$  ПУ от времени

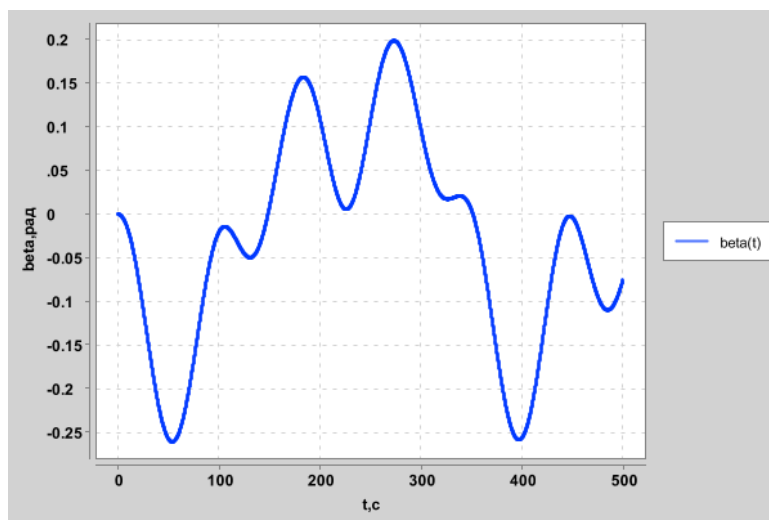


Рис. 6. Зависимость угла  $\beta_2$  ПУ от времени

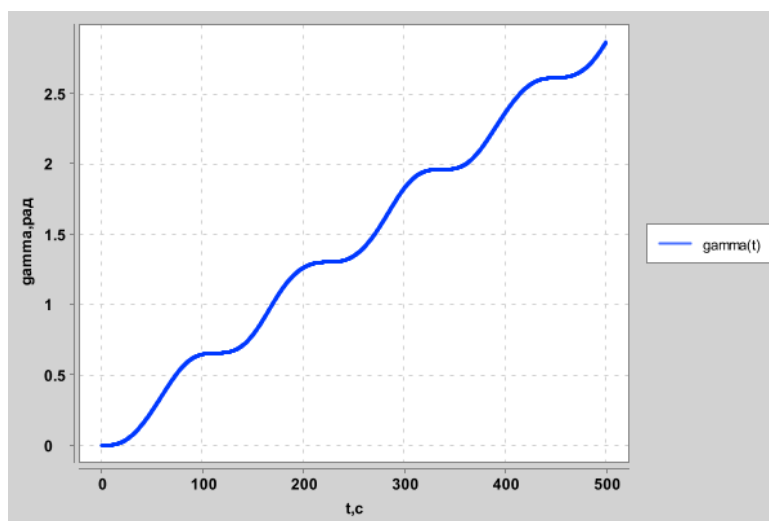


Рис. 7. Зависимость угла  $\gamma_2$  ПУ от времени

Как видно из графиков, динамика движения несущего тела близка к динамике движения свободного твёрдого тела. Подвижное устройство совершает угловое движение внутри рамок карданова подвеса без ограничений на параметры движения. Отклонения подвижного оборудования по углам  $\alpha_2$  и  $\beta_2$  не превышают 0,3 [рад].

Для обеспечения динамики движения механической системы с адекватными технической задаче параметрами движения (углы и угловые скорости ПУ) целесообразно выбрать параметры КА, обеспечивающие его симметричность.

Полученные в работе модели и численные оценки для динамических параметров будут полезны в рамках разработки КА новых поколений, содержащих в своем составе подвижные полифункциональные рабочие элементы.

### Библиографический список

1. Schiehlen W. Research trends in multibody system dynamics//Multibody System Dynamics. – 2007. – Т. 18. – №. 1. – С. 3-13.
2. Wittenburg J. (1977), Dynamics of Systems of Rigid Bodies. Stuttgart: Teubner.
3. Likins P.W. (1986), Spacecraft Attitude Dynamics and Control - A Personal Perspective on Early Developments, J. Guidance Control Dyn. Vol. 9, No. 2, pp. 129-134.
4. Бейнум П.М., Фуксел П. Дж., Мэкисон Д.Л. Движение и устойчивость спутника с двойным вращением, снабженного демпферами нутации // Сборник статей. Механика. Новое в зарубежной науке. Задачи стабилизации составных спутников. М.: Мир, 1975. С. 59-78.
5. Аншаков Г.П., Асланов В.С., Балакин В.Л., Дорошин А.В., Квашин А.С., Круглов Г.Е., Юдинцев В.В. Динамические процессы в ракетно-космических системах // Вестник Самарского государственного аэрокосмического университета им. академика С.П. Королёва (национального исследовательского университета). – 2003. – №. 1.
6. Асланов В.С., Дорошин А.В. Стабилизация спускаемого аппарата частичной закрутки при осуществлении неуправляемого спуска // Космические исследования. – 2002. – Т. 40. – №. 2. – С. 193-200.
7. Асланов В.С., Дорошин А.В. О двух случаях движения неуравновешенного гиристора // Изв. РАН. МТТ. 2006. №4, С. 42-55.
8. Doroshin A.V., Heteroclinic chaos and its local suppression in attitude dynamics of an asymmetrical dual-spinspacecraft and gyrostat-satellites. The part I – main models and solutions, Communications in Nonlinear Science and Numerical Simulation (2016), 31 (1-3), pp. 151-170.